

Таблица 2. Номинальные допустимые напряжения для труб из углеродистых сталей при разных температурах.

Номинальные допустимые напряжения для труб из углеродистых сталей при разных температурах, МПа

| Марка стали | Временное сопротивление<br>разрыву, МПа | Рабочая температура, °С |     |     |     |     |     |     |     |     |
|-------------|---|-------------------------|-----|-----|-----|-----|-----|-----|-----|-----|
|             |   | 200                     | 260 | 300 | 340 | 380 | 400 | 420 | 440 | 460 |
| Ст2         | 350                                     | 105                     | 93  | 85  | -   | -   | -   | -   | -   | -   |
| <u>Ст3</u>  | 390                                     | 117                     | 103 | 94  | -   | -   | -   | -   | -   | -   |
| Ст4         | 430                                     | 128                     | 111 | -   | -   | -   | -   | -   | -   | -   |
| 10          | 360                                     | 109                     | 96  | 88  | 79  | 71  | 67  | 63  | 52  | 41  |
| 15 и 15к    | 400                                     | 121                     | 106 | 97  | 87  | 77  | 73  | 69  | 58  | 46  |
| 22к         | 450                                     | 14                      | 129 | 122 | -   | -   | -   | -   | -   | -   |
| 25 и 25к    | 480                                     | 14                      | 127 | 115 | 104 | 92  | 87  | 81  | 67  | 51  |

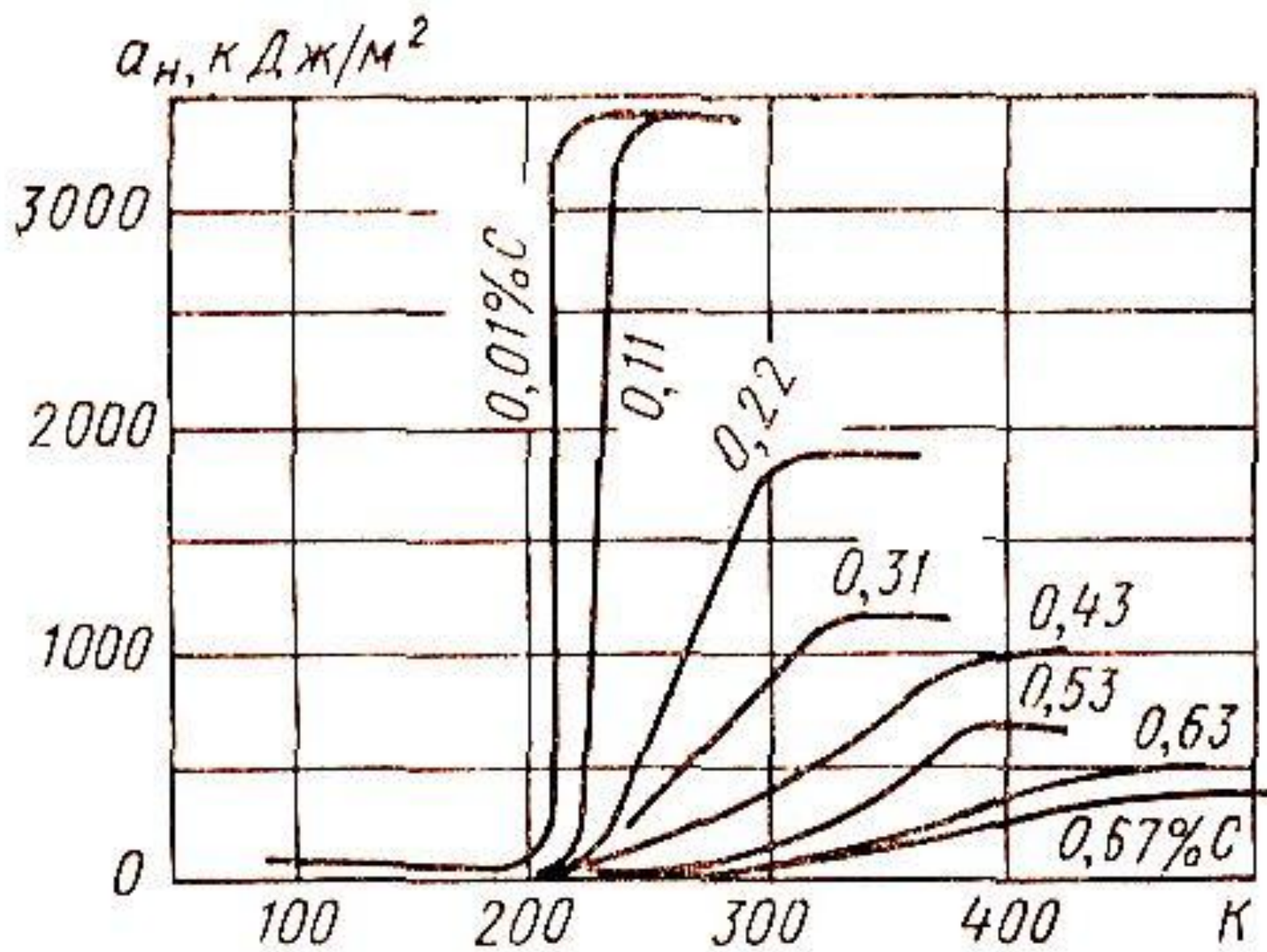


Рис.4. Зависимость ударной вязкости  $\alpha_n$  (по Шарпи) стали от температуры и содержания углерода

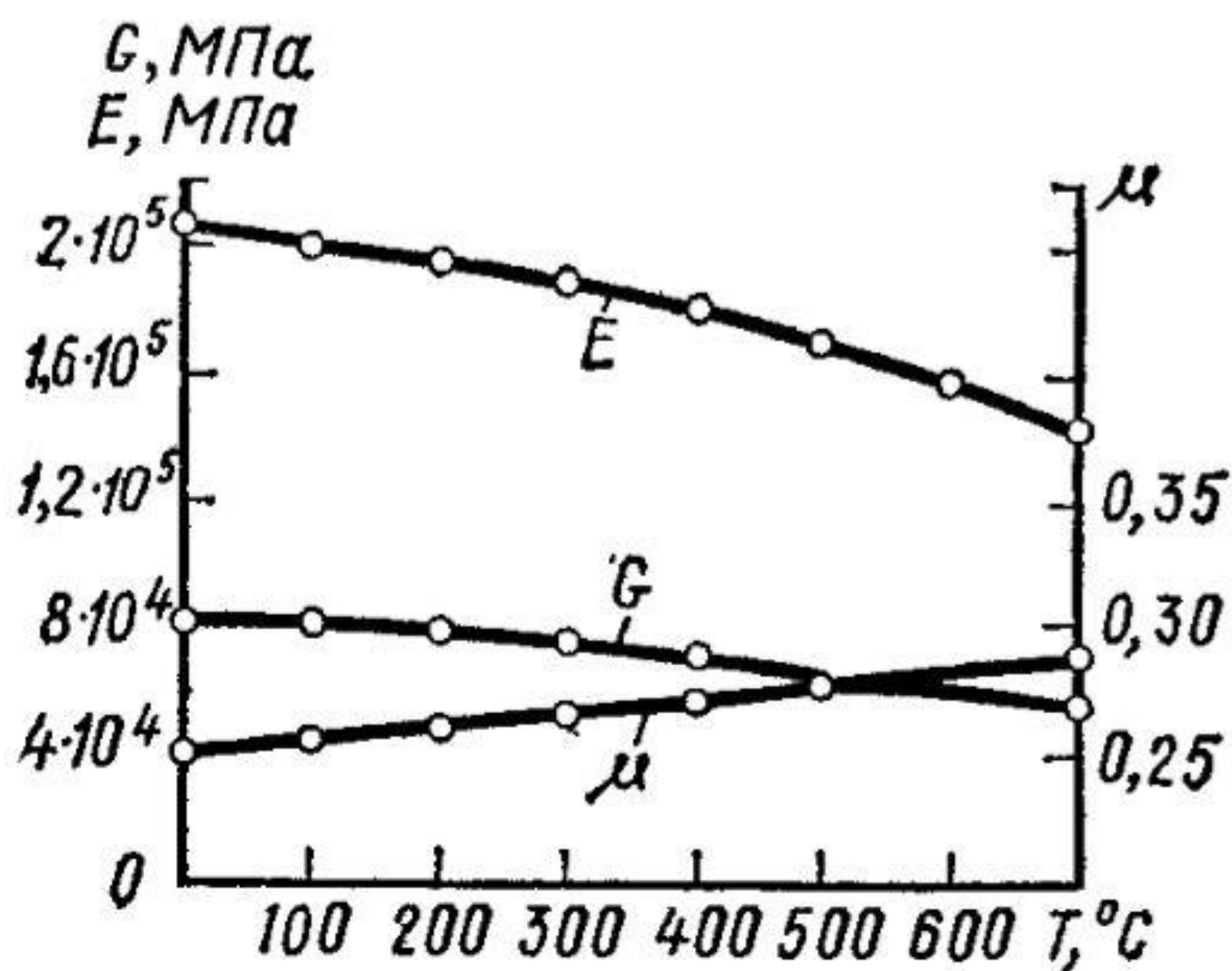


Рис. 7.3. Зависимость модулей упругости  $E$ ,  $G$  и коэффициента Пуассона  $\mu$  от температуры для стали 25

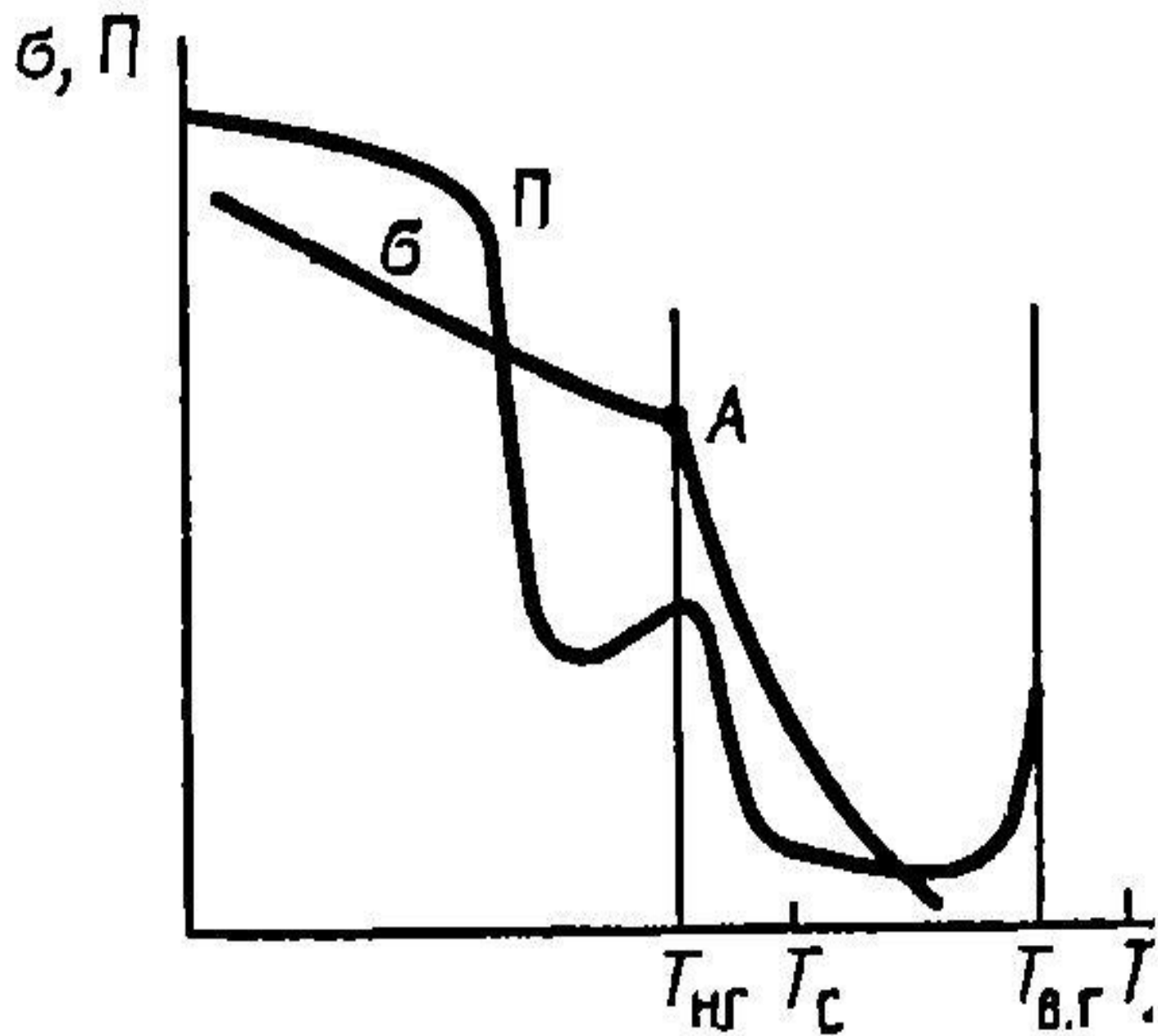
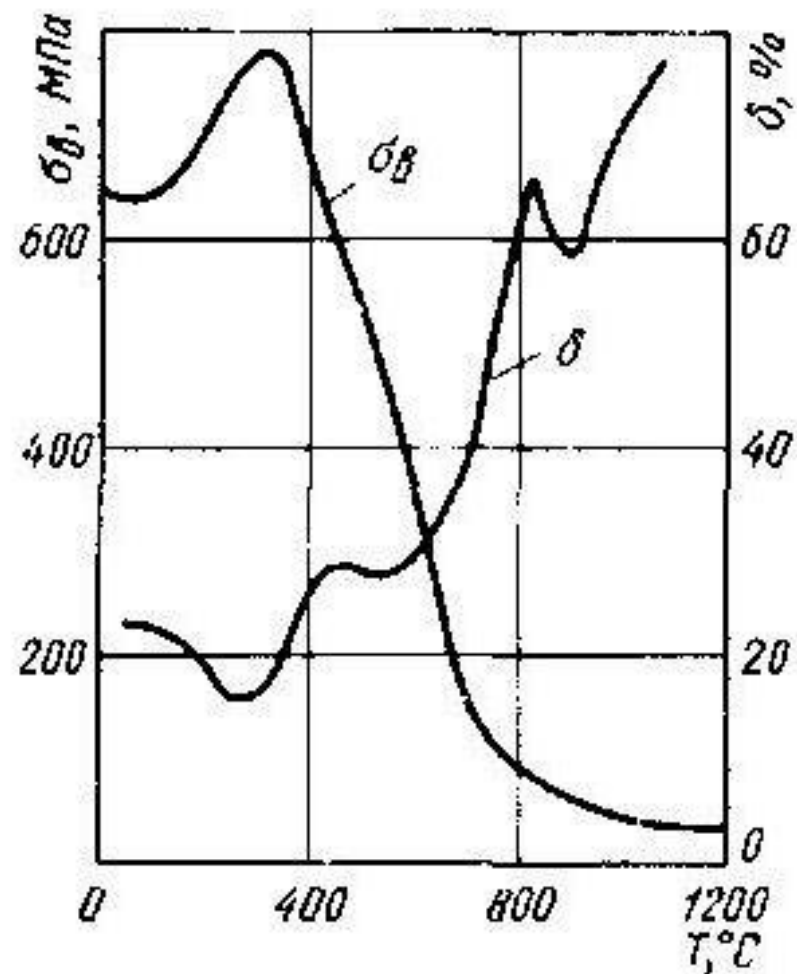


Рис. 2.10. Графики влияния температуры на пластичность ( $\delta$ ) и предел прочности ( $\sigma_{\text{в}}$ ) для стали с содержанием углерода 0,42 %